



Laboratorium Badań Środowiskowych
ul. Józefa Piusa Dziekońskiego 3
00-728 Warszawa
e-mail: Laboratorium@networks.pl



AB 419

S P R A W O Z D A N I E 787/2022/OS
Z POMIARÓW PÓL ELEKTROMAGNETYCZNYCH
WYKONANYCH DLA POTRZEB OCHRONY ŚRODOWISKA

Badany obiekt: Instalacja radiokomunikacyjna T-Mobile Polska S.A.

Numer i nazwa: 38023 (48023N!) GEB_ELBLĄG_WARSZAWSKA

Adres: ELBLĄG, WARSZAWSKA 120, Powiat m. Elbląg, WOJ. WARMIŃSKO-MAZURSKIE

Data wykonania pomiarów: 2022-02-14

Sprawozdanie z badań bez pisemnej zgody laboratorium nie może być powielane inaczej niż w całości.
Wynik przedstawione w niniejszym sprawozdaniu odnoszą się wyłącznie do badanego obiektu i do warunków i konfiguracji urządzeń w dniu wykonywania pomiarów.

1. Właściciel badanego obiektu:

T-Mobile Polska S.A., ul. Marynarska 12, 02-674 Warszawa

2. Zleceniodawca:

T-Mobile Polska S.A., ul. Marynarska 12, 02-674 Warszawa

3. Przedstawiciel zleceniodawcy:

NetWorkS! Sp.z o.o.

4. Zakres zlecenia:

Wykonanie badania i opracowanie sprawozdania z pomiarów natężenia pola elektrycznego i pola magnetycznego dla instalacji radiokomunikacyjnej T-Mobile Polska S.A. zlokalizowanej w miejscowości ELBLĄG, WARSZAWSKA 120.

5. Cel zlecenia:

Wykonanie pomiarów pól elektromagnetycznych w otoczeniu instalacji radiokomunikacyjnej 38023 (48023N!) GEB_ELBLĄG_WARSZAWSKA w odniesieniu do wymagań określonych w *Rozporządzeniu Ministra Klimatu z dnia 17 lutego 2020 r. w sprawie sposobów sprawdzania dotrzymania dopuszczalnych poziomów pól elektromagnetycznych w środowisku (Dz. U. 2020, poz. 258)*.

6. Pomiary zostały wykonane przez:

Mach Janusz
Nowak Paweł

7. Informacje o źródłach pól elektromagnetycznych

7.1. Sposób identyfikacji badanych źródeł pól elektromagnetycznych

Identyfikacji źródeł i parametrów technicznych dokonano na podstawie analizy dokumentacji dotyczącej zlecenia oraz obserwacji miejsca wykonywania badań.

7.2. Opis miejsca zainstalowania anten i urządzeń technicznych. Opis obiektu badań i jego otoczenia

Instalacja radiokomunikacyjna zlokalizowana jest na terenie ogrodzonym. Anteny zawieszono na wieży kratowej. Urządzenia sterujące oraz zasilające zainstalowano w kontenerze u podstawy wieży. Wokół instalacji znajdują się tereny przemysłowe.

Instalacja radiokomunikacyjna jest obiektem bezobsługowym. Okresowe stanowiska pracy związane są z prowadzonymi w zależności od potrzeb konserwacjami, przeglądami, strojeniem i naprawami.

Sprawozdanie z badań bez pisemnej zgody laboratorium nie może być powielane inaczej niż w całości.
Wynik przedstawione w niniejszym sprawozdaniu odnoszą się wyłącznie do badanego obiektu i do warunków i konfiguracji urządzeń w dniu wykonywania pomiarów.

7.3. Parametry techniczne źródła pola elektromagnetycznego

Dane przedstawiające maksymalne parametry pracy instalacji przekazane przez zleceniodawcę:

Parametry systemu nadawczo-odbiorczego:

Charakterystyka promieniowania		kierunkowa					
Rzeczywisty czas pracy [h/dobę]		24					
Warunki pracy		znamionowe					
Rodzaj wytwarzanego pola		stacjonarne					
Lp.	Częstotliwość lub zakresy częstotliwości pracy [MHz]	Typ/producent anteny	liczba anten	Azymut [°]	kąt pochylenia* [°]	Wysokość środka elektrycznego anteny [m n.p.t.]	Równoważna moc promieniowana izotropowo (EIRP) [W]
1	900	742264v02 Kathrein	1	70	7	28.7	3580
2	1800/2100	80010510v01 Kathrein	1	70	6/6	28.7	7809
3	1800/2100	80010510v01 Kathrein	1	180	6/6	28.7	7809
4	900	742265v02 Kathrein	1	180	0	29	4591
5	1800/2100	80010510v01 Kathrein	1	280	3/3	28.7	7809
6	900	742265v02 Kathrein	1	280	0	29	4591

* wskazane wartości kąta pochylenia anten, zgodnie z informacją uzyskaną od zleceniodawcy, są wartościami stałymi

Parametry radiolinii:

Charakterystyka promieniowania		kierunkowa					
Rzeczywisty czas pracy [h/dobę]		24					
Warunki pracy		znamionowe					
Rodzaj wytwarzanego pola		stacjonarne					
Lp.	Linia radiowa			Antena			
	Typ/ Producent	Częstotliwość pracy [GHz]	Równoważna moc promieniowana izotropowo (EIRP) [W]	Typ/ producent	Średnica anteny [m]	Azymut [°]	Wysokość zainstalowania n.p.t [m]
1.	NEC iPasolink 100E Harris Stratex	38	15	VHLP1-38 Andrew	0.3	94	27
2.	NP ERICSSON ML 6363 23GHz 2x28MHz XPIC Ericsson	23	3725	ANT3_0.6 23 HP/HPX Ericsson	0.6	219	26.5
3.	ERICSSON CN510 6363 Harris Stratex	80	13	ANT3_0.3 80 HP Andrew	0.3	289	24.3
4.	NP ERICSSON RAU2X 23GHz 2x56MHz XPIC Ericsson	23	5903	UKY 230 42/07H Ericsson	0.6	294	27
5.	ERICSSON CN510 6363 Harris Stratex	80	13	ANT3_0.3 80 HP Andrew	0.3	345	23.7
6.	Ericsson CN510 RAU2X Harris Stratex	32	296	ANT2_0.3 32 HP Andrew	0.3	357	26.5

Sprawozdanie z badań bez pisemnej zgody laboratorium nie może być powielane inaczej niż w całości.
Wynik przedstawione w niniejszym sprawozdaniu odnoszą się wyłącznie do badanego obiektu i do warunków i konfiguracji urządzeń w dniu wykonywania pomiarów.

7.4 Inne źródła pól elektromagnetycznych

Na podstawie informacji otrzymanych od użytkownika oraz obserwacji otoczenia miejsca wykonywania pomiarów oraz nie stwierdzono występowania innych źródeł pola-EM

8. Opis pomiarów

8.1. Metoda badań

Zgodna z rozporządzeniem Ministra Klimatu z dnia 17 lutego 2020 r. w sprawie sposobów sprawdzania dotrzymania dopuszczalnych poziomów pól elektromagnetycznych w środowisku (Dz. U. 2020, poz. 258), określona w pkt 25 ppkt 1 załącznika do niniejszego rozporządzenia.

Zgodnie z art. 122a ust. 1b ustawy Prawo Ochrony Środowiska, w przypadku wprowadzenia na części albo całym terytorium Rzeczypospolitej Polskiej stanu nadzwyczajnego, o którym mowa w art. 228 ust. 1 Konstytucji Rzeczypospolitej Polskiej z dnia 2 kwietnia 1997 r. (Dz. U. poz. 483, z 2001 r. poz. 319, z 2006 r. poz. 1471 oraz z 2009 r. poz. 946), lub stanu zagrożenia epidemicznego lub stanu epidemii, o których mowa w art. 46 ustawy z dnia 5 grudnia 2008 r. o zapobieganiu oraz zwalczaniu zakażeń i chorób zakaźnych u ludzi (Dz. U. z 2019 r. poz. 1239, z późn. zm.8)), pomiarów , nie przeprowadza się w lokalach mieszkalnych oraz w lokalach użytkowych zlokalizowanych na terytorium objętym stanem nadzwyczajnym, stanem zagrożenia epidemicznego lub stanem epidemii.

W związku z obecnie obowiązującym stanem epidemii, pomiarów nie wykonano w lokalach mieszkalnych oraz w lokalach użytkowych zlokalizowanych w obszarze pomiarowym przedmiotowej instalacji radiokomunikacyjnej.

8.2. Termin pomiarów i warunki środowiskowe

Podczas wykonywania pomiarów pól elektromagnetycznych nie występowały opady atmosferyczne. Wyniki pomiaru parametrów pogodowych przedstawia poniższa tabela:

Data [rrrr-mm-dd]	Godzina [hh:mm-hh:mm]	Warunki środowiskowe			
		Temperatura [°C]		Wilgotność względna [%]	
2022-02-14	12:20-13:30	Przed pomiarem	Po pomiarach	Przed pomiarem	Po pomiarach
		6.7	7	62	62.2

Przedstawione wyżej warunki środowiskowe, występujące podczas wykonywania pomiarów pól elektromagnetycznych, są zgodne ze specyfikacją techniczną użytego zestawu pomiarowego.

8.3. Warunki pracy urządzeń nadawczych

Podczas pomiarów zostały uwzględnione poprawki pomiarowe przekazane przez zleceniodawcę, umożliwiające uwzględnienie maksymalnych parametrów pracy instalacji zgodnie z pkt 7 załącznika do Rozporządzeniem Ministra Klimatu z dnia 17 lutego 2020 r. w sprawie sposobów sprawdzania dotrzymania dopuszczalnych poziomów pól elektromagnetycznych w środowisku (Dz. U. 2020, poz. 258).

8.4. Wyposażenie pomiarowe

Zestaw pomiarowy służący do pomiaru natężenia składowej elektrycznej pola elektromagnetycznego złożony z szerokopasmowego miernika i sondy pomiarowej:

Oznaczenie miernika	Producent	Model	Numer fabryczny	Oznaczenie sondy	Producent	Model	Numer fabryczny
M-22	Narda Safety Test Solution	Miernik pól elektromagnetycznych NBM-550	H-0487	S-29	Narda Safety Test Solution	Sonda EF9091	A-0069

Mierniki natężenia pola elektromagnetycznego podlegają okresowemu sprawdzeniu zgodnie z procedurą wewnętrzną P-03 i PB-01. Świadectwo wzorcowania zestawu pomiarowego z dnia 2 czerwca 2020 o numerze LWiMP/W/165/20 wydane przez Laboratorium Wzorców i Metrologii Pola Elektromagnetycznego (LWiMP) Politechniki Wrocławskiej.
Data ważności świadectwa wzorcowania: 2 czerwca 2022 (zgodnie z procedurą wewnętrzną P-03).

Oznaczenie miernika	Producent	Model	Numer fabryczny	Oznaczenie sondy	Producent	Model	Numer fabryczny
M-22	Narda Safety Test Solution	Miernik pól elektromagnetycznych NBM-550	H-0487	S-30	Narda Safety Test Solution	Sonda EF0391	D-1594

Sprawozdanie z badań bez pisemnej zgody laboratorium nie może być powielane inaczej niż w całości.
Wynik przedstawione w niniejszym sprawozdaniu odnoszą się wyłącznie do badanego obiektu i do warunków i konfiguracji urządzeń w dniu wykonywania pomiarów.

Mierniki natężenia pola elektromagnetycznego podlegają okresowemu sprawdzeniu zgodnie z procedurą wewnętrzną P-03 i PB-01. Świadectwo wzorcowania zestawu pomiarowego z dnia 2 czerwca 2020 o numerze LWiMP/W/165/20 wydane przez Laboratorium Wzorców i Metrologii Pola Elektromagnetycznego (LWiMP) Politechniki Wrocławskiej.
Data ważności świadectwa wzorcowania: 2 czerwca 2022 (zgodnie z procedurą wewnętrzną P-03).

Termohigrometr:

Oznaczenie:	TH-11	Producent:	AZ INSTRUMENT CORP	Model:	Termohigrometr AZ8706
-------------	-------	------------	--------------------	--------	-----------------------

Data ważności świadectwa wzorcowania: 20 maja 2023 (zgodnie z procedurą wewnętrzną P-03).

Dalmierz:

Oznaczenie	Producent	Typ	Numer seryjny	Nr świadectwa wzorcowania	Data świadectwa wzorcowania
D-08	Leica	Dalmierz Leica Disto D510	1042957273	4609.4-M11-4180-1748/14	9 stycznia 2015

Data ważności świadectwa wzorcowania: 9 stycznia 2025 (zgodnie z procedurą wewnętrzną P-03).

9. Wyniki pomiarów

Pole elektryczne

Nr pionu	Opis umiejscowienia pionu (punktu) pomiarowego	Wysokość pomiaru [m]	Zmierzona wartość natężenia pola elektrycznego E [V/m] ^{1,5}			Wartość natężenia pola elektrycznego po uwzględnieniu poprawek pomiarowych powiększona o niepewność pomiaru ⁴ E [V/m]	Wskaźnikowa wartość poziomu emisji pól elektromagnetycznych WME ³	Współrzędne geograficzne pionu (punktu) pomiarowego ²
			Sonda S-29	Sonda S-30	SUMA			
1	GKP w odległości 8m od anteny sektorowej az. 70°	2,0	1,2	1,2	1,2	2.6	0.09	54°8'56.759" 19°23'18.24"
2	GKP w odległości 45m od anteny sektorowej az. 70°	2,0	1,4	1,4	1,4	3	0.11	54°8'57.479" 19°23'20.039"
3	GKP w odległości 70m od anteny sektorowej az. 70°	2,0	1,3	1,3	1,3	2.8	0.1	54°8'57.479" 19°23'21.479"
4	GKP w odległości 95m od anteny sektorowej az. 70°	2,0	1,5	1,5	1,5	3.2	0.12	54°8'57.839" 19°23'22.56"
5	GKP w odległości 46m od anteny radioliniowej az. 94°	2,0	1,1	1,1	1,1	2.4	0.08	54°8'56.759" 19°23'20.039"
6	GKP w odległości 72m od anteny radioliniowej az. 94°	0,3-2,0	<1,0	<1,0	<1,0	2.1	0.08	54°8'56.759" 19°23'21.479"
7	GKP w odległości 94m od anteny radioliniowej az. 94°	2,0	1,2	1,2	1,2	2.6	0.09	54°8'56.759" 19°23'22.92"
8	GKP w odległości 9m od anteny sektorowej az. 180°	2,0	1,2	1,2	1,2	2.6	0.09	54°8'56.4" 19°23'17.52"
9	GKP w odległości 40m od anteny sektorowej az. 180°	2,0	1,4	1,4	1,4	3	0.11	54°8'55.319" 19°23'17.52"
10	GKP w odległości 62m od anteny sektorowej az. 180°	2,0	1,3	1,3	1,3	2.8	0.1	54°8'54.599" 19°23'17.52"
11	GKP w odległości 90m od anteny sektorowej az. 180°	2,0	1,4	1,4	1,4	3	0.11	54°8'53.879" 19°23'17.52"

Sprawozdanie z badań bez pisemnej zgody laboratorium nie może być powielane inaczej niż w całości.
Wynik przedstawione w niniejszym sprawozdaniu odnoszą się wyłącznie do badanego obiektu i do warunków i konfiguracji urządzeń w dniu wykonywania pomiarów.

12	GKP w odległości 21m od anteny radioliniowej az. 219°	0,3-2,0	<1,0	<1,0	<1,0	2.1	0.08	54°8'56.4" 19°23'16.8"
13	GKP w odległości 54m od anteny radioliniowej az. 219°	2,0	1,2	1,2	1,2	2.6	0.09	54°8'55.319" 19°23'15.719"
14	GKP w odległości 87m od anteny radioliniowej az. 219°	2,0	1,2	1,2	1,2	2.6	0.09	54°8'54.599" 19°23'14.639"
15	GKP w odległości 18m od anteny radioliniowej az. 289° i az. 294°	2,0	1,3	1,3	1,3	2.8	0.1	54°8'57.12" 19°23'16.8"
16	GKP w odległości 42m od anteny radioliniowej az. 289° i 294°	2,0	1,2	1,2	1,2	2.6	0.09	54°8'57.479" 19°23'15.359"
17	GKP w odległości 50m od anteny sektorowej az. 280°	2,0	1,2	1,2	1,2	2.6	0.09	54°8'57.12" 19°23'14.999"
18	GKP w odległości 88m od anteny sektorowej az. 280°	2,0	1,4	1,4	1,4	3	0.11	54°8'57.479" 19°23'12.84"
19	GKP w odległości 78m od anteny radioliniowej az. 289°	2,0	1,3	1,3	1,3	2.8	0.1	54°8'57.479" 19°23'13.56"
20	GKP w odległości 42m od anteny radioliniowej az. 345°	2,0	1,2	1,2	1,2	2.6	0.09	54°8'58.2" 19°23'17.16"
21	GKP w odległości 44m od anteny radioliniowej az. 357°	0,3-2,0	<1,0	<1,0	<1,0	2.1	0.08	54°8'58.2" 19°23'17.52"
22	GKP w odległości 94m od anteny radioliniowej az. 357°	0,3-2,0	<1,0	<1,0	<1,0	2.1	0.08	54°8'59.999" 19°23'17.52"
23	PPP na az. 22° w odległości 75m od anteny sektorowej az. 70°	0,3-2,0	<1,0	<1,0	<1,0	2.1	0.08	54°8'58.92" 19°23'19.32"
24	PPP na az. 250° w odległości 69m od anteny sektorowej az. 280°	0,3-2,0	<1,0	<1,0	<1,0	2.1	0.08	54°8'56.039" 19°23'13.919"
-	GKP w odległości 151m od anteny sektorowej az. 70°	0,3-2,0	<1,0	<1,0	<1,0	2.1	0.08	54°8'58.559" 19°23'25.799"
-	GKP w odległości 554m od anteny sektorowej az. 70°	0,3-2,0	<1,0	<1,0	<1,0	2.1	0.08	54°9'2.879" 19°23'46.68"
-	GKP w odległości 150m od anteny sektorowej az. 180°	0,3-2,0	<1,0	<1,0	<1,0	2.1	0.08	54°8'51.72" 19°23'17.52"
-	GKP w odległości 317m od anteny sektorowej az. 180°	0,3-2,0	<1,0	<1,0	<1,0	2.1	0.08	54°8'46.32" 19°23'17.52"
-	GKP w odległości 152m od anteny sektorowej az. 280°	0,3-2,0	<1,0	<1,0	<1,0	2.1	0.08	54°8'57.839" 19°23'9.239"
-	GKP w odległości 294m od anteny sektorowej az. 280°	0,3-2,0	<1,0	<1,0	<1,0	2.1	0.08	54°8'58.559" 19°23'1.68"

Sprawozdanie z badań bez pisemnej zgody laboratorium nie może być powielane inaczej niż w całości.
Wynik przedstawione w niniejszym sprawozdaniu odnoszą się wyłącznie do badanego obiektu i do warunków i konfiguracji urządzeń w dniu wykonywania pomiarów.

Pole magnetyczne (wyznaczone na podstawie pomiaru wartości natężenia pola elektrycznego)

Nr pionu	Opis umiejscowienia pionu (punktu pomiarowego)	Wysokość pomiaru [m]	Wartość natężenia pola magnetycznego H [A/m] ¹			Wartość natężenia pola magnetycznego po uwzględnieniu poprawek pomiarowych powiększona o niepewność pomiaru ⁴ H [A/m]	Wskaźnikowa wartość poziomu emisji pól elektromagnetycznych WM _H ³	Współrzędne geograficzne pionu (punktu pomiarowego) ²
			Sonda S-29	Sonda S-30	SUMA			
1	GKP w odległości 8m od anteny sektorowej az. 70°	2,0	0.003	0.003	0.003	0.007	0.09	54°8'56.759" 19°23'18.24"
2	GKP w odległości 45m od anteny sektorowej az. 70°	2,0	0.004	0.004	0.004	0.008	0.11	54°8'57.479" 19°23'20.039"
3	GKP w odległości 70m od anteny sektorowej az. 70°	2,0	0.003	0.003	0.003	0.007	0.1	54°8'57.479" 19°23'21.479"
4	GKP w odległości 95m od anteny sektorowej az. 70°	2,0	0.004	0.004	0.004	0.009	0.12	54°8'57.839" 19°23'22.56"
5	GKP w odległości 46m od anteny radioliniowej az. 94°	2,0	0.003	0.003	0.003	0.006	0.09	54°8'56.759" 19°23'20.039"
6	GKP w odległości 72m od anteny radioliniowej az. 94°	0,3-2,0	<0.003*	<0.003*	<0.003*	0.006	0.08	54°8'56.759" 19°23'21.479"
7	GKP w odległości 94m od anteny radioliniowej az. 94°	2,0	0.003	0.003	0.003	0.007	0.09	54°8'56.759" 19°23'22.92"
8	GKP w odległości 9m od anteny sektorowej az. 180°	2,0	0.003	0.003	0.003	0.007	0.09	54°8'56.4" 19°23'17.52"
9	GKP w odległości 40m od anteny sektorowej az. 180°	2,0	0.004	0.004	0.004	0.008	0.11	54°8'55.319" 19°23'17.52"
10	GKP w odległości 62m od anteny sektorowej az. 180°	2,0	0.003	0.003	0.003	0.007	0.1	54°8'54.599" 19°23'17.52"
11	GKP w odległości 90m od anteny sektorowej az. 180°	2,0	0.004	0.004	0.004	0.008	0.11	54°8'53.879" 19°23'17.52"
12	GKP w odległości 21m od anteny radioliniowej az. 219°	0,3-2,0	<0.003*	<0.003*	<0.003*	0.006	0.08	54°8'56.4" 19°23'16.8"
13	GKP w odległości 54m od anteny radioliniowej az. 219°	2,0	0.003	0.003	0.003	0.007	0.09	54°8'55.319" 19°23'15.719"

Sprawozdanie z badań bez pisemnej zgody laboratorium nie może być powielane inaczej niż w całości.
Wynik przedstawione w niniejszym sprawozdaniu odnoszą się wyłącznie do badanego obiektu i do warunków i konfiguracji urządzeń w dniu wykonywania pomiarów.

14	GKP w odległości 87m od anteny radioliniowej az. 219°	2,0	0.003	0.003	0.003	0.007	0.09	54°8'54.599" 19°23'14.639"
15	GKP w odległości 18m od anteny radioliniowej az. 289° i az. 294°	2,0	0.003	0.003	0.003	0.007	0.1	54°8'57.12" 19°23'16.8"
16	GKP w odległości 42m od anteny radioliniowej az. 289° i 294°	2,0	0.003	0.003	0.003	0.007	0.09	54°8'57.479" 19°23'15.359"
17	GKP w odległości 50m od anteny sektorowej az. 280°	2,0	0.003	0.003	0.003	0.007	0.09	54°8'57.12" 19°23'14.999"
18	GKP w odległości 88m od anteny sektorowej az. 280°	2,0	0.004	0.004	0.004	0.008	0.11	54°8'57.479" 19°23'12.84"
19	GKP w odległości 78m od anteny radioliniowej az. 289°	2,0	0.003	0.003	0.003	0.007	0.1	54°8'57.479" 19°23'13.56"
20	GKP w odległości 42m od anteny radioliniowej az. 345°	2,0	0.003	0.003	0.003	0.007	0.09	54°8'58.2" 19°23'17.16"
21	GKP w odległości 44m od anteny radioliniowej az. 357°	0,3-2,0	<0.003*	<0.003*	<0.003*	0.006	0.08	54°8'58.2" 19°23'17.52"
22	GKP w odległości 94m od anteny radioliniowej az. 357°	0,3-2,0	<0.003*	<0.003*	<0.003*	0.006	0.08	54°8'59.999" 19°23'17.52"
23	PPP na az. 22° w odległości 75m od anteny sektorowej az. 70°	0,3-2,0	<0.003*	<0.003*	<0.003*	0.006	0.08	54°8'58.92" 19°23'19.32"
24	PPP na az. 250° w odległości 69m od anteny sektorowej az. 280°	0,3-2,0	<0.003*	<0.003*	<0.003*	0.006	0.08	54°8'56.039" 19°23'13.919"
-	GKP w odległości 151m od anteny sektorowej az. 70°	0,3-2,0	<0.003*	<0.003*	<0.003*	0.006	0.08	54°8'58.559" 19°23'25.799"
-	GKP w odległości 554m od anteny sektorowej az. 70°	0,3-2,0	<0.003*	<0.003*	<0.003*	0.006	0.08	54°9'2.879" 19°23'46.68"
-	GKP w odległości 150m od anteny sektorowej az. 180°	0,3-2,0	<0.003*	<0.003*	<0.003*	0.006	0.08	54°8'51.72" 19°23'17.52"
-	GKP w odległości 317m od anteny	0,3-2,0	<0.003*	<0.003*	<0.003*	0.006	0.08	54°8'46.32" 19°23'17.52"

Sprawozdanie z badań bez pisemnej zgody laboratorium nie może być powielane inaczej niż w całości.
Wynik przedstawione w niniejszym sprawozdaniu odnoszą się wyłącznie do badanego obiektu i do warunków i konfiguracji urządzeń w dniu wykonywania pomiarów.

	sektorowej az. 180°							
-	GKP w odległości 152m od anteny sektorowej az. 280°	0,3-2,0	<0.003*	<0.003*	<0.003*	0.006	0.08	54°8'57.839" 19°23'9.239"
-	GKP w odległości 294m od anteny sektorowej az. 280°	0,3-2,0	<0.003*	<0.003*	<0.003*	0.006	0.08	54°8'58.559" 19°23'1.68"

GKP – Główny Kierunek Pomiarowy
PPP – Pomocniczy Pion pomiarowy

¹ wyniki oznaczone * są wynikami poniżej czułości zestawu pomiarowego

² współrzędne geograficzne pozyskane metodą obliczeniową w oparciu o pomiar punktu referencyjnego

³ do wyznaczenia wartości wskaźnikowej W_{ME} i W_{MH} przyjęto na podstawie uzgodnień z klientem oraz rozpoznania źródeł, jako wartości dopuszczalne pola elektrycznego i magnetycznego odpowiednio 28 V/m i 0,073 A/m.

⁴ do wyznaczenia niepewności dla wyników poniżej czułości zestawu pomiarowego, przyjęto niepewność dla minimalnej wartości z zakresu pomiarowego.

⁵ maksymalna wartość chwilowa

Niepewność oszacowano zgodnie z dokumentem P-03 „Procedura nadzoru nad wyposażeniem” w postaci niepewności rozszerzonej wynikającej z niepewności standardowej pomnożonej przez współczynnik rozszerzenia $k=2$.

Całkowita szacowana niepewność rozszerzona składowej E wynosi odpowiednio:

sonda S-29: 30.2% dla częstotliwości do 3 GHz, sonda S-30: 28.3% dla częstotliwości do 3 GHz

Dla przedmiotowych pomiarów zlecniodawca określił poprawkę pomiarową = 1.65.

Umiejscowienie pionów (punktów) pomiarowych przedstawiono w nr 2 do niniejszego sprawozdania.

10. Omówienie wyników pomiarów

Wyniki pomiarów uzyskane zostały przy uwzględnieniu poprawek pomiarowych przekazanych przez zlecniodawcę, umożliwiających uwzględnienie maksymalnych parametrów pracy instalacji zlecniodawcy oraz innych operatorów występujących w obszarze pomiarowym.

W wyniku zastosowania sposobu sprawdzenia dotrzymania dopuszczalnych poziomów pól elektromagnetycznych w środowisku, zgodnie pkt 25 ppkt 1 Rozporządzenia Ministra Klimatu z dnia 17 lutego 2020 r. (Dz. U. 2020, poz. 258), w związku z tym, że żadna z wartości wskaźnikowych, udokumentowanych w tabelach w pkt. 9 nie przekracza wartości 1, stwierdza się, że w miejscach, w których wykonano pomiary w otoczeniu instalacji radiokomunikacyjnej 38023 (48023N!) GEB_ELBLAG_WARSZAWSKA, dopuszczalne poziomy pól elektromagnetycznych w środowisku należy uznać za dotrzymane.

11. Podstawa prawna

- 1) Ustawa z dnia 27 kwietnia 2001 r. Prawo ochrony środowiska (t. j. Dz. U. z 2020 r., poz. 1219 z późn.zm.)
- 2) Rozporządzenie Ministra Zdrowia z dnia 17 grudnia 2019 r. w sprawie dopuszczalnych poziomów pól elektromagnetycznych w środowisku (Dz. U. 2019, poz. 2448)
- 3) Rozporządzenie Ministra Klimatu z dnia 17 lutego 2020 r. w sprawie sposobów sprawdzania dotrzymania dopuszczalnych poziomów pól elektromagnetycznych w środowisku (Dz. U. 2020, poz. 258),
- 4) Akredytacja nr AB 419 wydana przez Polskie Centrum Akredytacji (wydanie 18, z dnia 10 listopada 2021r.).

12. Spis załączników

Załącznik 1. Lokalizacja obiektu badań

Załącznik 2. Usytuowanie pionów (punktów) pomiarowych

Załącznik 3. Dokumentacja fotograficzna obiektu badań

Sprawozdanie z badań bez pisemnej zgody laboratorium nie może być powielane inaczej niż w całości.
Wynik przedstawione w niniejszym sprawozdaniu odnoszą się wyłącznie do badanego obiektu i do warunków i konfiguracji urządzeń w dniu wykonywania pomiarów.

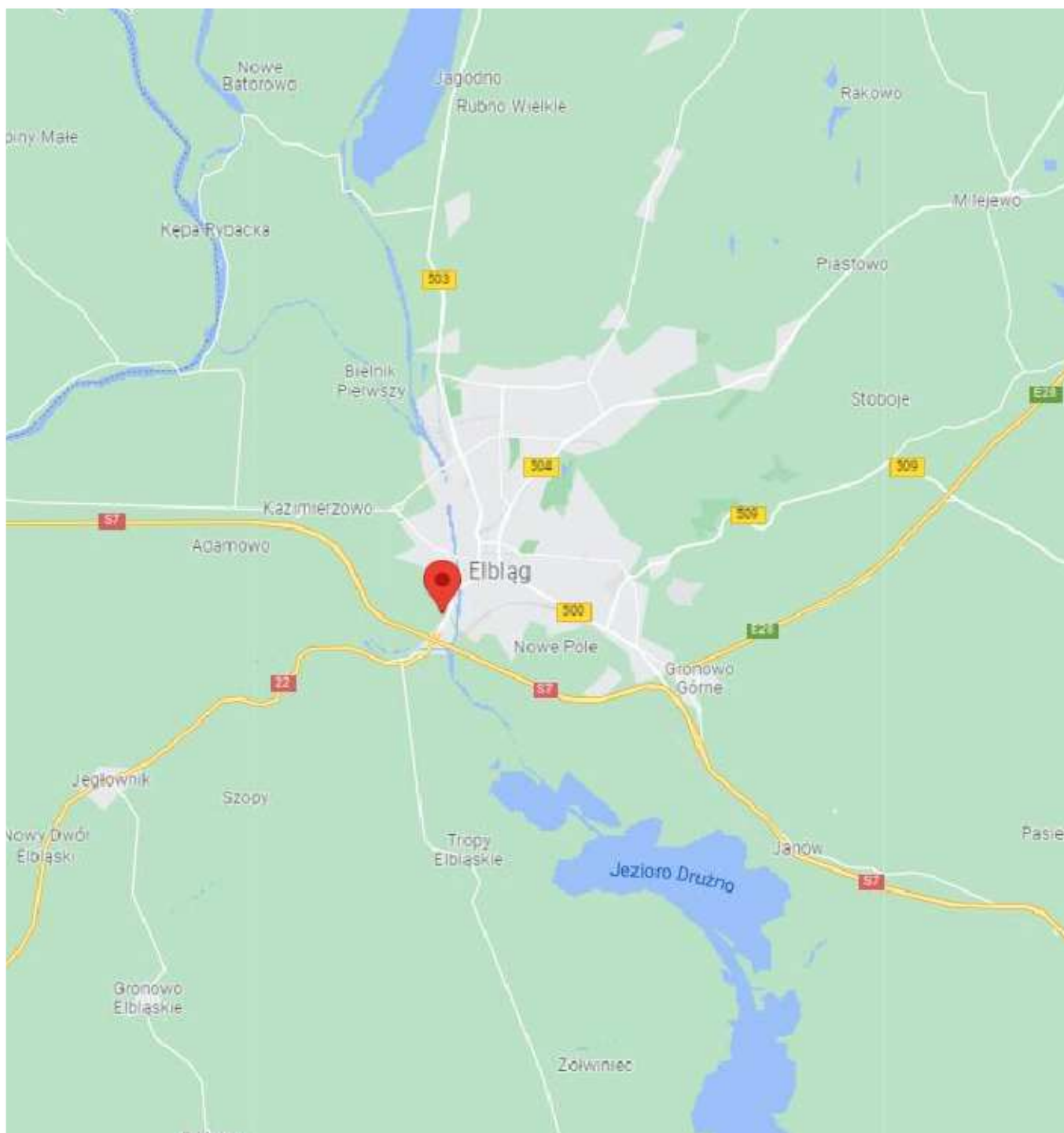
13. Data wydania i autoryzowania sprawozdania

Obliczenia i sprawozdanie wykonał :

Sprawozdanie autoryzował:

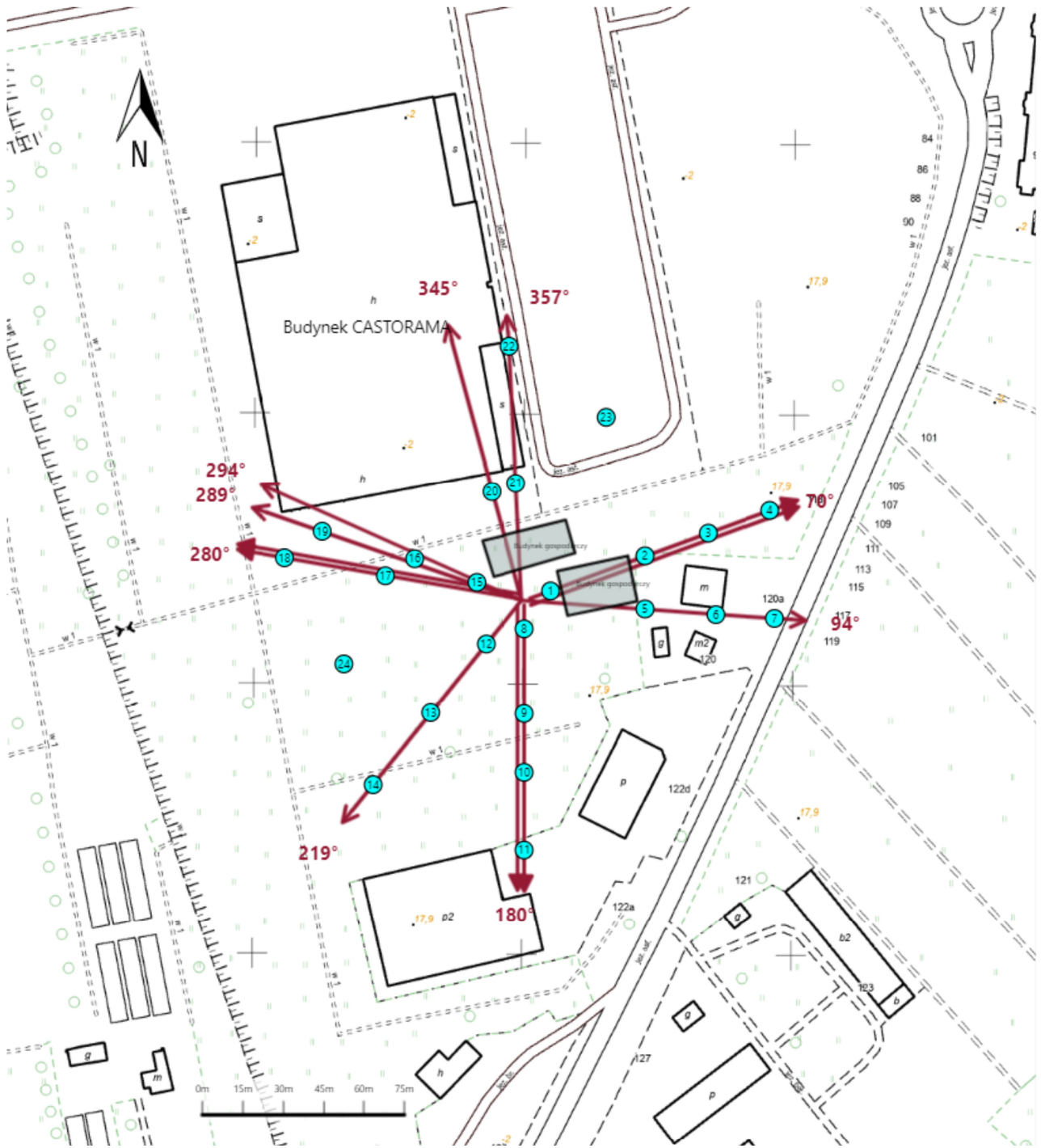
Koniec sprawozdania




Sprawozdanie z badań bez pisemnej zgody laboratorium nie może być powielane inaczej niż w całości.
Wynik przedstawione w niniejszym sprawozdaniu odnoszą się wyłącznie do badanego obiektu i do warunków i konfiguracji urządzeń w dniu wykonywania pomiarów.



Załącznik nr 1	Instalacja radiokomunikacyjna T-Mobile Polska S.A. 38023 (48023NI) GEB_ELBLAG_WARSZAWSKA Lokalizacja stacji
----------------	--

Sprawozdanie z badań bez pisemnej zgody laboratorium nie może być powielane inaczej niż w całości.
Wynik przedstawione w niniejszym sprawozdaniu odnoszą się wyłącznie do badanego obiektu i do warunków i konfiguracji urządzeń w dniu wykonywania pomiarów.



Załącznik nr 2	<p style="text-align: center;">Instalacja radiokomunikacyjna T-Mobile Polska S.A. GEB_ELBLĄG_WARSZAWSKA (48023N!) Usytuowanie pionów pomiarowych w otoczeniu instalacji radiokomunikacyjnej</p>
Legenda:	<p style="text-align: center;">  Pion pomiarowy  Kierunek oddziaływania anten sektorowych  Kierunek oddziaływania anten radioliniowych </p>



Załącznik nr 3

Instalacja radiokomunikacyjna T-Mobile Polska S.A. 38023 (48023N!) GEB_ELBLAG_WARSZAWSKA

Dokumentacja fotograficzna

Sprawozdanie z badań bez pisemnej zgody laboratorium nie może być powielane inaczej niż w całości.
Wynik przedstawione w niniejszym sprawozdaniu odnoszą się wyłącznie do badanego obiektu i do warunków i konfiguracji urządzeń w dniu wykonywania pomiarów.